

# TVD기법을 이용한 천수방정식 해석

## Numerical Solutions of Shallow Water Equations with a TVD Scheme

이중욱\* / 조용식\*\*/서 아\*\*\*

### 1. 서 론

일반적으로 2차 이상의 정확도를 갖는 수치기법은 불연속면에서 수치진동이 발생하게 된다. 이러한 수치진동을 제거하기 위한 방법으로는 인공점성(artificial viscosity)을 이용하는 방법(Younus 등, 1994; Molls 등, 1995)과 TVD(Total Variation Diminishing)조건을 만족시키는 제한자(limiter)를 이용하는 방법(Jha 등, 1995; Fraccarollo와 Toro, 1995; 김원, 1999)으로 나눌 수 있다. 인공점성을 증가시키는 것은 진동과 발산을 억제하여 계산의 안정성을 높일 수는 있으나 과도하게 큰 계수의 사용은 전체적인 해에 영향을 미치므로 사용에 신중해야 한다. 그러나 TVD조건을 만족하는 제한자를 이용하는 방법은 TVD기법의 특성인 단조성을 포함하고 있으므로 인공점성의 사용 없이도 불연속면에서 물리적으로 타당한 결과를 얻을 수 있다.

지배방정식이 선형 이송방정식인 경우에는 1개의 전파속도 또는 특성곡선(characteristic line)을 가지며 상수이지만 천수방정식은 3개의 전파속도를 가지며 이들 전파속도는 매 시간단계마다 계산되어야 할 미지수이다. 따라서 천수방정식과 같은 비선형방정식을 풍상차분기법으로 해석하기 위해서는 개략 Riemann 해를 통해 구간 평균값(piece-wise constant data)을 구해야 한다.

본 연구에서는 HLLC기법으로 Riemann 해를 계산하였으며, 1차 정확도를 갖는 단점을 보완하기 위해 시간과 공간에 대한 2차 정확도의 WAF(Weighted Averaged Flux)기법과 SUPERBEE형 흐름률 제한자(flux limiter)를 이용한 TVD기법을 천수방정식에 적용하였다.

### 2. 지배방정식

#### 2.1 천수방정식

2차원 천수방정식은 Reynold방정식을 수심방향으로 적분함으로써 얻을 수 있다. 수심적분을 하기 위하여 정수압분포의 가정을 도입하고 바람에 의한 응력과 전향력의 항을 무시하면 식 (1)의 천수방정식을 유도할 수 있다.

$$\frac{\partial \mathbf{Q}}{\partial t} + \frac{\partial \mathbf{E}}{\partial x} + \frac{\partial \mathbf{F}}{\partial y} = \frac{\partial \mathbf{E}_v}{\partial x} + \frac{\partial \mathbf{F}_v}{\partial y} - \mathbf{G} \quad (1)$$

---

\* 정희원, 한양대학교 토목공학과 인턴연구원

\*\* 정희원, 한양대학교 토목공학과 조교수

\*\*\* 정희원, 한양대학교 토목공학과 연구원

여기서  $Q$ 는 미지행렬,  $E$ 와  $F$ 는 비점성 흐름률(inviscid flux),  $E_v$ 와  $F_v$ 는 점성 흐름률(viscous flux),  $G$ 는 바닥마찰항( $S_{fx}$ )과 하상의 변화( $S_{ox}$ )를 나타내며 다음과 같다.

$$Q = \begin{pmatrix} h \\ hu \\ hv \end{pmatrix}, \quad E = \begin{pmatrix} hu \\ hu^2 + gh^2/2 \\ huv \end{pmatrix}, \quad F = \begin{pmatrix} hv \\ huv \\ hv^2 + gh^2/2 \end{pmatrix}$$

$$E_v = \nu_t \begin{pmatrix} 0 \\ \frac{\partial(hu)}{\partial x} \\ \frac{\partial(hv)}{\partial x} \end{pmatrix}, \quad F_v = \nu_t \begin{pmatrix} 0 \\ \frac{\partial(hu)}{\partial y} \\ \frac{\partial(hv)}{\partial y} \end{pmatrix}, \quad G = \begin{pmatrix} 0 \\ gh(S_{fx} - S_{ox}) \\ gh(S_{fy} - S_{oy}) \end{pmatrix} \quad (2)$$

$$S_{fx} = \frac{n^2 u \sqrt{u^2 + v^2}}{h^{4/3}}, \quad S_{fy} = \frac{n^2 v \sqrt{u^2 + v^2}}{h^{4/3}}, \quad S_{ox} = -\frac{\partial z_b}{\partial x}, \quad S_{oy} = -\frac{\partial z_b}{\partial y}$$

## 2.2 유한차분식

지배방정식인 식 (1)의 시간미분항과 비점성 흐름률을 양해적으로 표현하면 식 (3)과 같다.

$$Q_{i,j}^{n+1} = Q_{i,j}^n - \frac{\Delta t}{\Delta x} (E_{i+1/2,j}^f - E_{i-1/2,j}^f) - \frac{\Delta t}{\Delta y} (F_{i,j+1/2}^f - F_{i,j-1/2}^f) \quad (3)$$

여기서  $E^f$ ,  $F^f$ 는 수치흐름률이며 본 연구에서는 개략 Riemann 해 중 하나인 HLLC기법으로 구간 평균값을 계산한 후 SUPERBEE형 제한자를 이용해 TVD조건에 만족하도록 하였으며 이는 제3장에 기술하였다.

점성 흐름률 행렬은 자체에 미분항을 포함하고 있으므로 2계 미분에 해당하며 식 (4)를 이용하면 쉽게 차분식을 구할 수 있다.

$$\frac{\partial}{\partial x} \left( L \frac{\partial M}{\partial x} \right) = \frac{1}{2(\Delta x)^2} \{ (\delta_x^+ L) M_{i+1,j} - (\delta_x L) M_{i,j} + (\delta_x^- L) M_{i-1,j} \} \quad (4)$$

여기서  $\delta_x^+ L = L_{i+1,j} + L_{i,j}$ ,  $\delta_x L = L_{i+1,j} + 2L_{i,j} + L_{i-1,j}$ ,  $\delta_x^- L = L_{i,j} + L_{i-1,j}$ 이다.

## 3. WAF(Weighted Average Flux)형 TVD기법

WAF기법에 의한 수치흐름률은  $-\Delta x/2 \sim \Delta x/2$ 의 구간에서 흐름률을 적분함으로서 얻을 수 있다.

$$E_{i+1/2,j}^{WAF} = \int_{-\Delta x/2}^{\Delta x/2} E(Q_{i+1/2,j}(x, \Delta t/2)) dx \quad (5)$$

그림 1에서 같이  $-\Delta x/2 \sim \Delta x/2$ 의 구간은 4개의 구간 평균값으로 나타낼 수 있으므로 식 (5)는 다음과 같이 나타낼 수 있다.

$$E_{i+1/2,j}^{WAF} = \sum_{k=1}^4 \beta_k E_{i+1/2,j}^{(k)} \quad (6)$$

여기서  $E_{i+1/2,j}^{(k)} = E(Q_{i+1/2,j}^{(k)})$ 로서 HLLC기법의 구간 평균값을 사용할 수 있으며  $\beta_k$ 는 무차원 거리로서 식 (7)과 같다.

$$\beta_k = \frac{A_k - A_{k-1}}{\Delta x} = \frac{1}{2} (c_k - c_{k-1}) \quad (7)$$

식 (7)에서  $c_k$ 는 전파속도  $S_k$ 에 대한 Courant 수로서  $\Delta t S_k / \Delta x$ 이고  $c_0 = -1$ ,  $c_4 = 1$ 이다. 따라서, 식 (7)을 식 (6)에 대입하고 정리하면 다음과 같다.

$$E_{i+1/2,j}^{WAF} = \frac{1}{2} (E_{i,j} + E_{i-1,j}) - \frac{1}{2} \sum_{k=1}^3 c_k \Delta E_{i+1/2,j}^{(k)} \quad (8)$$

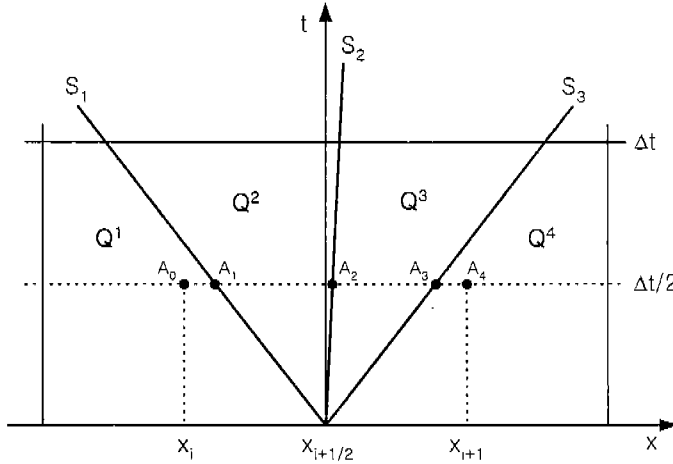


그림 1. WAF기법의 수치흐름률

여기서  $\Delta E_{i+1/2,j}^{(k)} = E_{i+1/2,j}^{(k+1)} - E_{i+1/2,j}^{(k)}$ 이다. 그러나 일반적인 2차 이상의 정확도를 갖는 수치기법은 불연속면 인근에서 수치진동이 발생하게 되며 이를 없애기 위해 TVD조건을 흐름률 제한자를 이용할 수 있다.

선형 이송방정식은 1개의 전파속도를 가지므로 강력한 TVD조건을 만족시킬 수 있으나 본 연구의 지배방정식인 천수방정식은 3개의 전파속도를 갖는 비선형방정식이다. 그러므로 각

각의 전파속도에 따른 단일 물리량  $q$ 의 변화량을 조사함으로써 TVD조건을 적용할 수 있으며, 매 계산 격자마다 3개의 제한자 함수가 필요하게 된다. Euler방정식의 경우, Toro(1999)는  $q$ 를 밀도나 내부에너지를 선택할 수 있다고 밝힌 바 있으나 천수방정식의 경우 수심  $h$ 를 선택해야 한다. 식 (8)을 흐름률 제한자를 이용하여 다시 쓰면 다음과 같다.

$$E_{i+1/2,j}^{TVD} = \frac{1}{2} (E_{i,j} + E_{i+1,j}) - \frac{1}{2} \sum_{k=1}^3 \text{sign}(c_k) \phi_{i+1/2,j}^{(k)} \Delta E_{i+1/2,j}^{(k)} \quad (8)$$

여기서  $\phi_{i+1/2,j}^{(k)}$ 는 흐름률 제한자이며 여러 가지 종류가 있으나 본 연구에서는 SUPERBEE형 제한자를 사용하였으며 이는 식 (9)와 같다.

$$\phi_{sa}(r, c) = \begin{cases} 1 & , \text{ for } r \leq 0 \\ 1 - 2(1 - |c|)r & , \text{ for } 0 \leq r \leq \frac{1}{2} \\ |c| & , \text{ for } \frac{1}{2} \leq r \leq 1 \\ 1 - (1 - |c|)r & , \text{ for } 1 \leq r \leq 2 \\ 2|c| - 1 & , \text{ for } r \geq 2 \end{cases} \quad (9)$$

여기서  $r$ 은  $k$ 번째 파의 전파속도에 따라 변화하는  $h$ 의 양에 의해 결정되며 상류 변동량(upwind change,  $\Delta_{\text{upwind}}$ )과 국부 변동량(local change,  $\Delta_{\text{local}}$ )의 비로 표현된다.

$$r = \frac{\Delta h_{\text{upwind}}}{\Delta h_{\text{local}}} = \begin{cases} \frac{\Delta h_{i-1/2,j}^{(k)}}{\Delta h_{i+1/2,j}^{(k)}} & , \text{ for } c_k > 0 \\ \frac{\Delta h_{i+3/2,j}^{(k)}}{\Delta h_{i+1/2,j}^{(k)}} & , \text{ for } c_k < 0 \end{cases} \quad (10)$$

여기서  $\Delta h_{i-1/2,j}^{(k)} = h_{i,j}^{(k)} - h_{i-1,j}^{(k)}$ 이다.

식 (8)는  $x$ 방향의 수치흐름률이며,  $y$ 방향의 수치흐름률도 쉽게 구할 수 있다. 이렇게 구한 수치흐름률을 식 (3)에 대입하면 2차 정확도를 갖는 TVD형 수치모형을 구성할 수 있다.

## 4. 수치모형의 적용

### 4.1 댐 붕괴파의 전파

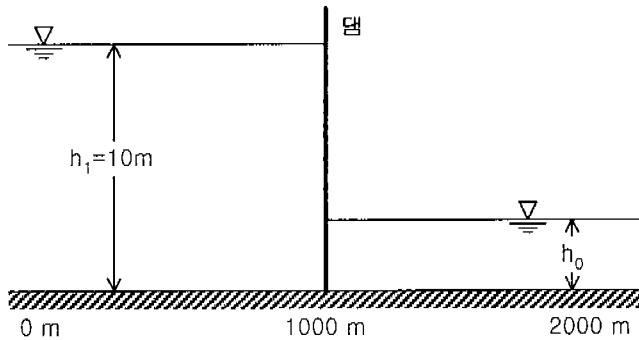


그림 2. 댐 붕괴파의 초기조건

포를 도시한 것이며 그림 4~그림 6은 댐 붕괴 60초 후를 해석해와 함께 수치해를 도시한 것이다. 해석해는 Stoker(1957) 및 김원(1999)에서 찾을 수 있으며, 수치해는 개략 Riemann 해인 HLLC기법과 이 기법을 WAF형 TVD조건에 적용시킨 방법 및 김원(1999) 등 3가지이다. 그림 4는  $h_1/h_0=0.5$ 인 경우의

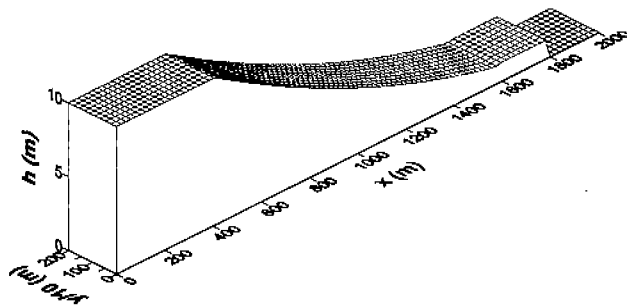


그림 3. 3차원 수위분포도 ( $h_1/h_0=0.005$ )

제3장에서 개발된 수치모형의 적용성을 검토하기 위해 Jha 등(1995)과 김원(1999) 등이 사용한 댐 붕괴파의 전파를 해석하였다. 그림 2는 바닥마찰이 없는 가상하도(2000m×20m)에서의 초기조건을 나타내며 댐 하류의 수심  $h_0$ 는 5m, 0.05m와 0.005m의 경우에 대해 모의하였다. 수치해석에 사용된 계수는  $\Delta x=4m$ ,  $\Delta y=2m$ ,  $\Delta t=0.2sec$ 이며  $n=0.0$ ,  $\nu_f=0.0$ 이다.

그림 3은  $h_1/h_0=0.05$ 의 경우, 3차원 수위분포를 나타낸 것으로 상류(subcritical flow)와 하류(supercritical flow)가 교차하는 천이흐름이 발생되지는 않았다. 전 구간에 걸쳐 김원(1999)의 연구결과보다는 HLLC기법과 TVD기법이 개선된 결과를 보이고 있다. 특히 TVD기법은 홍수파의 선단에서 발생하는 약간의 불일치를 제외하고는 해석해와 거의 일치하고 있어 그 정확성이 탁월하다고 할 수 있다. 이는 본 연구가 풍상차분기법을 기반으로 하

는 개략 Riemann 해에 기반을 두고 있는 반면, 김원(1999)의 ENO기법은 대표적인 중앙차분기법인 Beam-Warming기법에 기반을 두고 있는 방법이기 때문인 것으로 판단된다.

그림 5~그림 6은 초기하류의 수위가 0.05m와 0.005m인 경우로서 그림 4와는 달리 흐름사이에서 강한 충격파가 발생한다. 이 경우에도 TVD기법이 홍수파의 선단 등을 거의 유사하게 모의하였으나 약간의 수치진동이 관찰되었다.

## 6. 결론

본 연구에서는 풍상차분기법에 기반한 2차 정확도의 WAF기법을 이용하여 수심평균된 2차원 천수 방정식의 수치모형을 개발하였으며 도수와 댐 붕괴파와 같은 급변류의 흐름에서 발생하는 수치진동을 억제하기 위해 TVD기법을 적용하였다. 개발된 수치모형의 적용성을 검증하기 위해 해석해가 존재하는 가상하도의 댐 붕괴파를 모의하였으며 두 경우 모두 HLLC기법에 비해 TVD기법이 해석해에 가까운 결과를 계산하였다. TVD기법에서 Froude수가 아주 크게 되면 미소한 진동이 발생하였으나 전체적인 해에는 영향을 미치지 않는 아주 작은 값이므로 실제 문제의 적용에는 큰 무리가 없을 것으로 판단된다. 풍상차분기법에 기반을 둔 본 연구는 Riemann 해를 계산해야 함으로 프로그램 작성이 다소 복잡해지기는 하나 Beam-Warming기법에 기반을 두고 있는 김원(1999)의 연구에 비해 정확한 값을 예측하였다.

## 참고문헌

- 김원 (1999). 고정확도 수치기법을 이용한 하천 천이류 해석모형의 개발. 박사학위논문, 경북대학교.
- Fraccarollo, L and Toro, E.F. (1995). "Experimental and numerical assessment of the shallow water model for two-dimensional dam-break type problems." *Journal of Hydraulic Research*, Vol. 33, pp. 843-864.
- Jha, A.K., Akiyama, J., and Ura, M. (1995). "First and second-order flux difference splitting schemes." *Journal of Hydraulic Engineering*, Vol. 121, pp. 877-884.
- Molls, T. and Chaudhry, M.H. (1995). "Depth-averaged open-channel flow model." *Journal of Hydraulic Engineering*, Vol. 121, pp. 453-465.
- Toro, E.F. (1999). *Riemann solvers and numerical methods for fluid dynamics*. Springer.
- Younus, M. and Chaudhry, M.H. (1994). "A depth-averaged k- $\epsilon$  turbulence model for the computation of free-surface flow." *Journal of Hydraulic Research*, Vol. 32, pp. 415-444.

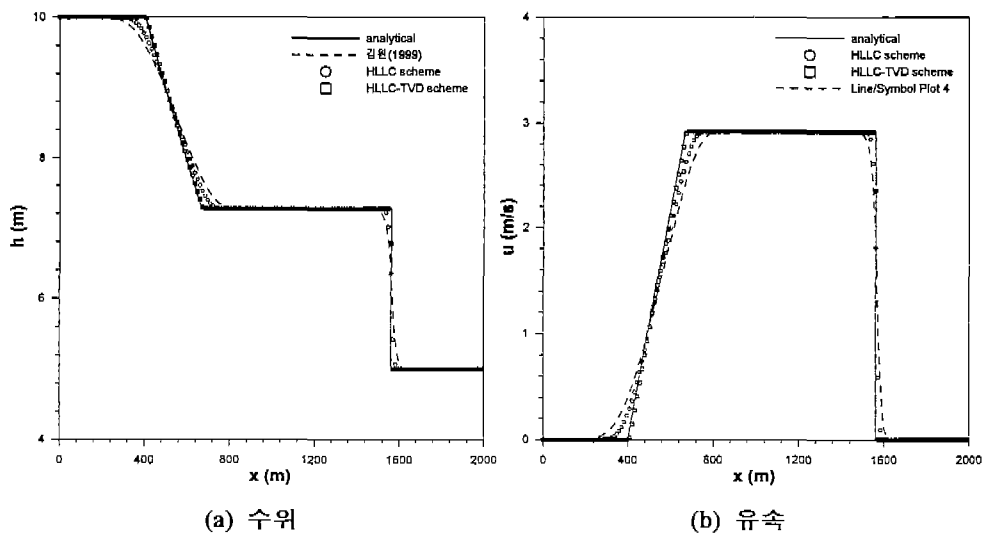
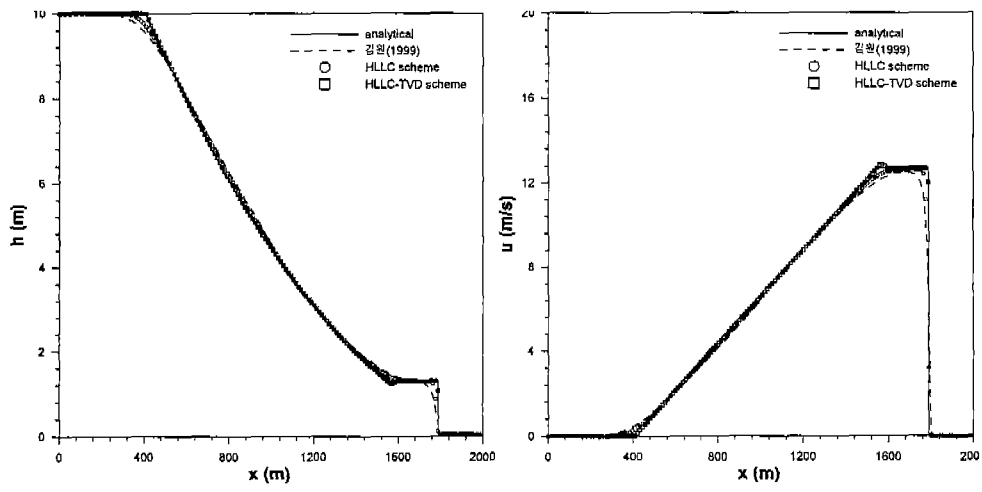


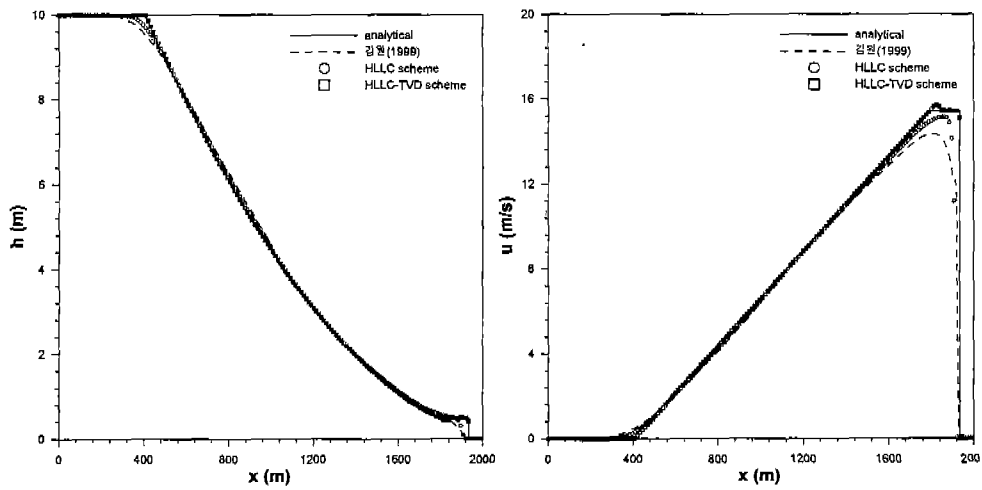
그림 4.  $h_1/h_0=0.5$ 인 경우 댐 붕괴파의 전파



(a) 수위

(b) 유속

그림 5.  $h_1/h_0=0.005$ 인 경우 댐 붕괴파의 전파



(a) 수위

(b) 유속

그림 6.  $h_1/h_0=0.0005$ 인 경우 댐 붕괴파의 전파